

А. С. Мостовой, Э. И. Миноранский, В. В. Архипов

ВЛИЯНИЕ УСТАЛОСТНОЙ ТРЕЩИНЫ НА ИЗМЕНЕНИЕ ЖЕСТКОСТИ ОБРАЗЦА ПРИ РАСТЯЖЕНИИ—СЖАТИИ

В практике усталостных испытаний образцов широко проводятся испытания при постоянных перемещениях точки приложения нагрузки. В этом случае появление усталостной трещины, изменяющей жесткость образца, вызывает уменьшение внешней нагрузки.

В настоящей работе, на основании методики, изложенной в [2], исследуется указанное явление и устанавливаются количественные соотношения, которые должны быть учтены при расчете долговечности образца.

Рассмотрим пластину (фиг. 1) шириной $2L$, в сечении $a-a$ которой, проходящем через отверстие, имеется трещина, симметричная относительно продольной вертикальной плоскости пластины. Полагаем, что трещина распространяется на всю толщину сечения.

Полное включение пластины в работу происходит на расстоянии B от поврежденного сечения.

Напряженное состояние на участке длиной B (эпюра a на фиг. 1) представим как сумму напряжений, показанных на эпюре c , и самоуравновешенных напряжений (эпюра d), затухающих вдоль оси z по некоторому закону $\xi(z)$. В целях упрощения задачи криволинейные очертания эпюры a заменяем отрезками прямых (эпюры b, c, d). В соответствии с этим

$$\sigma_a = \frac{P}{4(c-h)H} \quad (1)$$

$$\sigma_m = \frac{P}{4Hc} \quad (2)$$

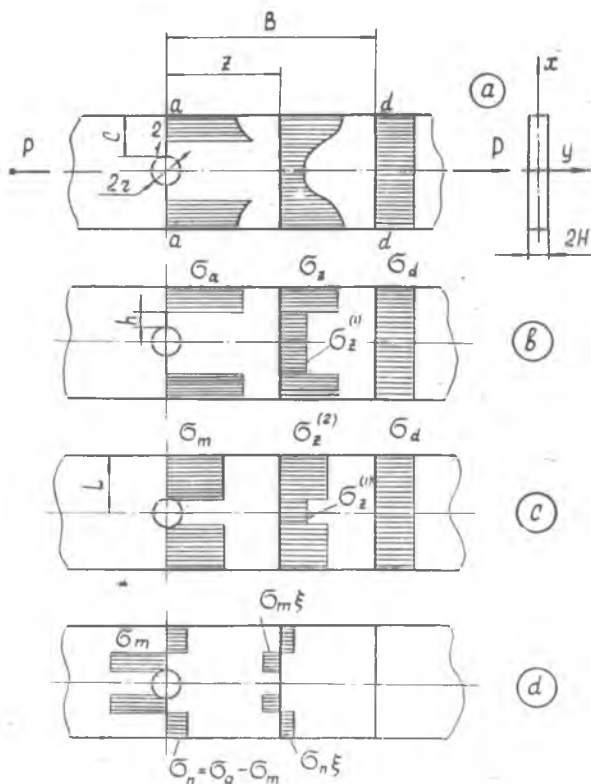
$$\sigma_n = \sigma_a - \sigma_m = \frac{Ph}{4(c-h)Hc} \quad (3)$$

Функцию затухания $\xi(z)$ найдем из условия минимума потенциальной энергии деформации, выражение для которой можно по-

чить из рассмотрения самоуравновешенных нормальных и касательных напряжений.

Рассмотрим потенциальную энергию деформации, обусловленную нормальными напряжениями:

$$U_{\sigma} = 2 \left[\int_0^B \int_0^h \frac{(\sigma_m \xi)^2}{2E} dx dz + \int_0^B \int_h^c \frac{(\sigma_n \xi)^2}{2E} dx dz \right] \quad (4)$$



Фиг. 1.

Подставляя в выражение (4) значения σ_n , σ_m и производя интегрирование, получим

$$U_{\sigma} = A_{\sigma} \int_0^B \xi^2 dz, \quad (5)$$

где

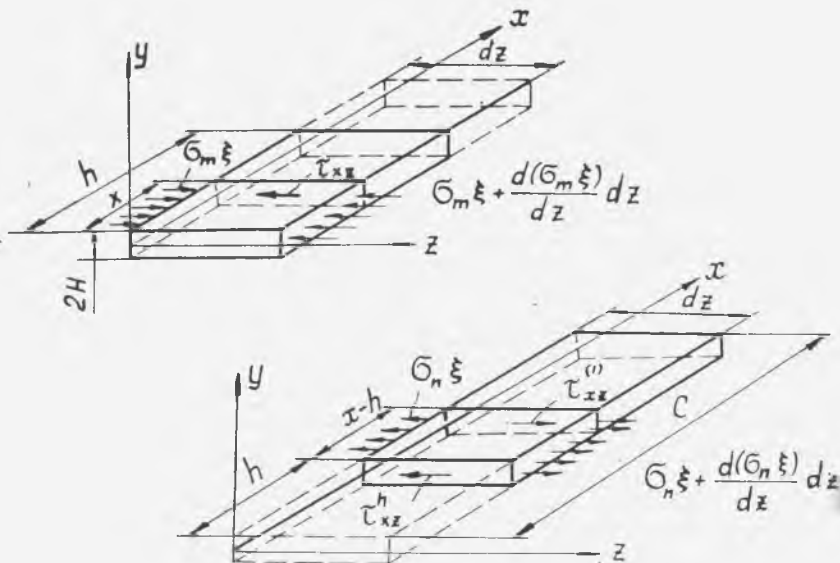
$$A_{\sigma} = \frac{P^2 h}{16 E c H^2 (c - h)}. \quad (6)$$

Рассмотрим потенциальную энергию деформации, обусловленную касательными напряжениями. Для участка $0-h$ (фиг. 2 а), проектируя силы на ось z , получим

$$\tau_{xz}^{(1)} = \frac{Px}{4cH} \xi'; \quad (7)$$

при $x = h$

$$\tau_{xz}^{(h)} = \frac{Ph}{2Hc} \xi.$$



Фиг. 2.

Рассмотрим участок $h-c$ (фиг. 2 в). Из условия равновесия имеем:

$$(\tau_{xz}^{(2)} - \tau_{xz}^{(h)}) 2H dz + 2H (x-h) \frac{d(\sigma_n \xi)}{dz} dz = 0.$$

С использованием выражения (3) получим:

$$\tau_{xz}^{(2)} = \frac{Ph(c-x)}{4(c-h)cH} \xi'. \quad (8)$$

Потенциальная энергия, обусловленная касательными напряжениями:

$$U_\tau = 2 \left[\int_0^B \int_0^h \frac{[\tau_{xz}^{(1)}]^2}{2G} dx dz + \int_0^B \int_h^c \frac{[\tau_{xz}^{(2)}]^2}{2G} dx dz \right].$$

Воспользовавшись выражениями (7) и (8), после интегрирования и преобразований получим:

$$U_{\tau} = A_{\tau} \int_0^B (\xi')^2 dz, \quad (9)$$

где

$$A_{\tau} = \frac{P^2 h^2}{48 H^2 c G}. \quad (10)$$

Потенциальная энергия деформации, обусловлена самоуравновешенными напряжениями:

$$U = U_{\sigma} + U_{\tau} = \int_0^B \varphi dz,$$

где

$$\varphi = [A_{\sigma} \xi^2 + A_{\tau} (\xi')^2].$$

Записав условие минимума потенциальной энергии деформации

$$\varphi'_{\xi} + \frac{d}{dz} \varphi'_{\xi'} = 0, \quad (11)$$

получаем вариационное уравнение в таком виде:

$$2A_{\sigma} \xi - 2A_{\tau} \xi'' = 0$$

или

$$\xi'' - u^2 \xi = 0,$$

приняв

$$u^2 = \frac{A_{\sigma}}{A_{\tau}}. \quad (12)$$

Решение уравнения (12) запишем в виде:

$$\xi(z) = C_1 e^{-uz} + C_2 e^{uz}. \quad (13)$$

Учтя, что $\xi(z)$ с ростом z убывает и что $\xi(0) = 1$, придем к выражению:

$$\xi(z) = e^{-uz}. \quad (14)$$

Считая $\xi(B)$ достаточно малым при $uB \approx 4,0$, запишем:

$$\xi(z) = e^{-4z}, \quad (15)$$

где

$$\bar{z} = \frac{z}{B}.$$

Выражение для $u = \sqrt{\frac{A_{\sigma}}{A_{\tau}}}$ найдем, воспользовавшись формулами (6) и (10).

При $\mu = 0,3$, получим:

$$u = \frac{1,075}{\sqrt{(c-h)h}}. \quad (16)$$

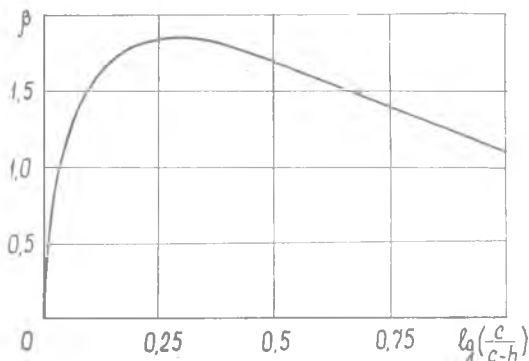
Тогда

$$B = \frac{4,0}{u} = 3,72 \sqrt{(c-h)h}. \quad (17)$$

График $\beta = \frac{B}{c} = f\left(\frac{c}{c-h}\right)$ в полулогарифмических координатах изображен на фиг. 3.

Далее определим значения местных фиктивных площадей сечения на участке $-B < z < B$ из условия $P = \sigma_z F_z$, где $F_a < F_z < F$. Введя обозначение $\Phi = \frac{\sigma_z^{(1)}}{\sigma_z}$, получим выражение для F_z :

$$F_z = 4(c-h)H + 4(r+h)H\Phi. \quad (18)$$



Фиг. 3.

Из рассмотрения фиг. 1 следует:

$$\sigma_z^{(1)} = \sigma_z^{(2)} - \sigma_m \xi,$$

$$4\sigma_z^{(2)} Hc + \sigma_z^{(1)} 4rH = P,$$

$$4\sigma_z(c-h)H + 4\sigma_z^{(1)} H(r+h) = P.$$

Используя эти соотношения и проведя преобразования, получим:

$$F_z = 4HL \left[\frac{L - (r+h)}{L - (1-\xi)(r+h)} \right]. \quad (19)$$

Определим приведенную жесткость образца $E F_{\text{пр}}$, под которой будем понимать жесткость образца постоянного сечения, имеющего равную с данным образцом деформацию [2]:

$$F_{\text{пр}} = \frac{Pl}{\Delta l E}, \quad (20)$$

где Δl — удлинение поврежденного образца. Величину Δl найдем из равенства:

$$\Delta l = \int_{-B}^B \frac{Pdz}{EF_z} + \frac{P}{EF}(l-2B) = \frac{PB(r+h)(1-e^{-4})}{2EF[L-(r+h)]} + \frac{Pl}{EF}. \quad (21)$$

Учитывая (20) и (21), а также обозначения

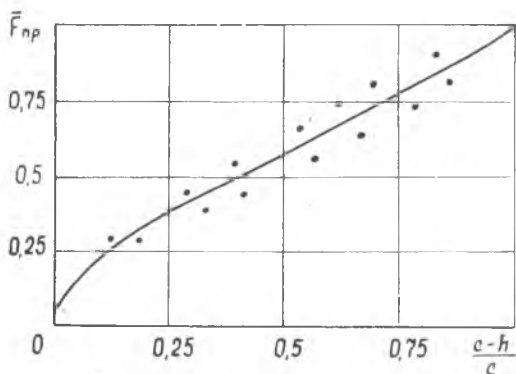
$$\bar{B} = \frac{B}{l}; \quad \bar{F}_{\text{пр}} = \frac{F_{\text{пр}}}{F},$$

$$\bar{F}_{\text{пр}} = \frac{L - (r + h)}{B(r + h)(1 - e^{-A}) + [L - (r + h)]} \quad (22)$$

График функции $\bar{F}_{\text{пр}} = f\left(\frac{c-h}{c}\right)$ приведен на фиг. 4. В работе [2] показано, что

$$\bar{F}_{\text{пр}} = \frac{P(t)}{P(0)}, \quad (23)$$

где $P(t)$ значение внешней нагрузки в момент времени t , соответствующий $F_{\text{пр}}$. Выражение (23) может служить для оценки паде-



Фиг. 4.

ния нагрузки с развитием трещины. Из этой же работы следует, что в процессе эксперимента значение $F_{\text{пр}}$ может быть определено из выражения

$$\bar{F}_{\text{пр}} = \frac{\left(\frac{\sigma}{\sigma_p}\right)_t}{\left(\frac{\sigma}{\sigma_p}\right)_0},$$

где σ — напряжение, замеряемое в неповрежденном сечении образца, переменное во времени, и σ_p — напряжение в тарировочной балочке, не зависящее от повреждения.

Значения $F_{\text{пр}}$, полученные из эксперимента, показаны на фиг. 4.

ЛИТЕРАТУРА

1. Расчеты на прочность в машиностроении под ред. С. Д. Пономарева, т. 2. Машгиз, 1958.
2. А. С. Мостовой, Б. А. Лавров. Влияние усталостной трещины на изгибную жесткость образца. Труды КуАИ, вып. 29, Куйбышев, 1967.